

Показана возможность экспериментального определения параметров схемы замещения трансформатора Тесла из осциллограмм опытов холостого хода и обратного холостого хода.

Одним из критериев обеспечения надежного функционирования трансформатора Тесла – ключевого элемента различных электрофизических комплексов для согласования трансформатора с другими устройствами, является контроль и диагностика его параметров [1, 2]. В данной работе предлагается экспериментальное определение параметров схемы замещения трансформатора Тесла из опытов холостого хода и обратного холостого хода.

Рассмотрим алгоритм определения параметров первичной цепи трансформатора Тесла (рис. 1, а) на примере модельной задачи. После срабатывания ключа S в режиме холостого хода на первичную обмотку трансформатора с индуктивностью L1, разряжается конденсатор C1, заряженный до напряжения U (рис. 1, б).

Решением прямой задачи по расчету колебательного переходного процесса в цепи второго порядка для тока  $i_1(t)$  будет выражение вида [1]

$$i_1(t) = A_1 \cdot e^{p_1 t} + A_2 \cdot e^{p_2 t} = 2 \cdot |A_1| \cdot e^{-\delta t} \sin(\omega t),$$

где  $A_1, A_2$  – постоянные интегрирования;  $p_1$  и  $p_2$  – комплексно-сопряженные корни характеристического уравнения, которые являются величинами, несущими информацию о параметрах схемы.

Задаем параметрами схемы:  $R_1=0,02$  Ом;  $L_1=6$  мГн;  $C_1=8$  мкФ;  $M=0,2$  мГн;  $R_2=20$  Ом;  $L_2=20$  мГн;  $C_2=2,4$  нФ;  $U=50$  кВ и, решая характеристическое уравнение, получаем комплексно-сопряжен-

ные корни  $p_{1,2}=-1666,6 \pm j144328$  и выражение для тока  $i_1(t)=57739 \cdot e^{-1666,6t} \cdot \sin(144328t)$ , А, графическая зависимость которого от времени приведена на рис. 2, а.

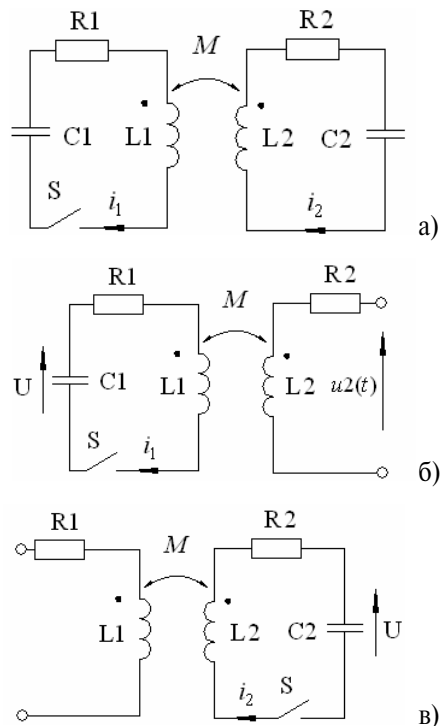


Рис. 1. Схема замещения трансформатора Тесла в режимах: а) рабочем; б) холостого хода; в) обратного холостого хода

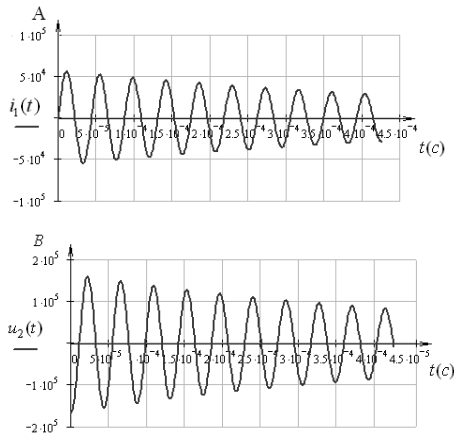


Рис. 2. Осциллограммы: а) тока  $i_1(t)$ ; б) напряжения  $u_2(t)$  в режиме холостого хода

По известной осциллограмме тока решаем *обратную задачу* определения параметров схемы. Используя систему нелинейной регрессии (1), определяем коэффициенты  $K_0$ ,  $K_1$ ,  $K_2$  по графической зависимости рис. 2 [3]:

$$\begin{cases} i_1(t) = K_0 e^{K_1 t} \cdot \sin(K_2 \cdot t); \\ \frac{di_1(t)}{dK_0} = e^{K_1 t} \cdot \sin(K_2 \cdot t); \\ \frac{di_1(t)}{dK_1} = t \cdot K_0 e^{K_1 t} \cdot \sin(K_2 \cdot t); \\ \frac{di_1(t)}{dK_2} = t \cdot K_0 e^{K_1 t} \cdot \cos(K_2 \cdot t). \end{cases} \quad (1)$$

$$p_{1,2} = -K_1 \pm jK_2 = -1666,6 \pm j144328 \frac{1}{с}; \quad (2)$$

$$L1 = \frac{U}{|K_0| \cdot K_2} = 6 \cdot 10^{-6} \text{ Гн}; \quad (3)$$

$$C1 = \frac{1}{(K_1^2 + K_2^2) \cdot L1} = \frac{1}{|p| \cdot L1} = 8 \cdot 10^{-6} \text{ Ф}; \quad (4)$$

$$R1 = \sqrt{\left(\frac{1}{L1 \cdot C1} - K_2^2\right) \cdot 4L1^2} = 0,02 \text{ Ом}. \quad (5)$$

В результате получаем значения для коэффициентов:  $K_0 = 5,774 \cdot 10^4$ ,  $K_1 = \delta = -1666,6$ ,  $K_2 = \omega = 144328$ . Используя соотношения (2–5), определяем параметры первичной цепи трансформатора.

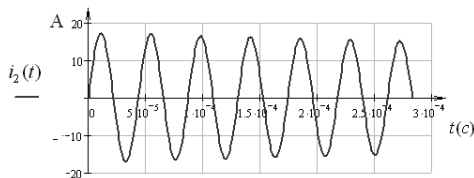


Рис. 3. Осциллограмма тока  $i_2(t)$  в режиме обратного холостого хода

Для определения параметров вторичной цепи трансформатора Тесла  $R2$ ,  $L2$ ,  $C2$  по осциллограмме тока  $i_2(t)$  (рис. 3) выполним все предыдущие операции для режима обратного холостого хода (рис. 1, в).

В результате получаем значения коэффициентов для тока  $i_2(t)$ :  $K2_0 = 17,32$ ;  $K2_1 = \delta = -500$ ;  $K2_2 = \omega = 1443367$  по которым, используя соотношения (6–8) определяем  $R2$ ,  $L2$ ,  $C2$ .

$$L2 = \frac{U}{|K2_0| \cdot K2_2} = 20 \cdot 10^{-3} \text{ Гн}; \quad (6)$$

$$C2 = \frac{1}{(K2_1^2 + K2_2^2) \cdot L2} = \frac{1}{|p| \cdot L2} = 2,4 \cdot 10^{-9} \text{ Ф}; \quad (7)$$

$$R2 = \sqrt{\left(\frac{1}{L2 \cdot C2} - K2_2^2\right) \cdot 4L2^2} = 20 \text{ Ом}. \quad (8)$$

Коэффициент взаимной индукции  $M$  определим из опыта холостого хода по осциллограмме напряжения на вторичной обмотке трансформатора. Выражение для напряжения на вторичной обмотке:

$$u_2(t) = -M \frac{di_1}{dt} = -M \cdot |2 \cdot A_1 \cdot p_1| \cdot e^{\delta t} \cdot \cos(\omega t). \quad (9)$$

Решением системы уравнений нелинейной регрессии общего вида (10) для функции  $u_2(t)$  (9) являются коэффициенты  $a_0$ ;  $a_1$ ;  $a_2$  (11), с помощью которых по выражению (12) определяем коэффициент взаимной индукции  $M$ .

$$\begin{cases} u_2(t) = a_0 \cdot \sqrt{a_1^2 + a_2^2} \cdot e^{a_1 t} \cdot \cos(a_2 t); \\ \frac{du_2(t)}{da_0} = \sqrt{a_1^2 + a_2^2} \cdot e^{a_1 t} \cdot \cos(a_2 t); \\ \frac{du_2(t)}{da_1} = a_0 \cdot \cos(a_2 t) \left( \frac{a_1}{\sqrt{a_1^2 + a_2^2}} \cdot e^{a_1 t} + \right. \\ \left. + \sqrt{a_1^2 + a_2^2} \cdot t \cdot e^{a_1 t} \right); \\ \frac{du_2(t)}{da_2} = a_0 \cdot e^{a_1 t} \cdot \left( \frac{a_2}{\sqrt{a_1^2 + a_2^2}} \cdot \cos(a_2 t) - \right. \\ \left. - \sqrt{a_1^2 + a_2^2} \cdot t \cdot \sin(a_2 t) \right). \end{cases} \quad (10)$$

$$a_0 = 1,667 \cdot 10^5; \quad a_1 = -1666,6; \quad a_2 = 144336,7 \quad (11)$$

$$M = \frac{-a_0 \cdot a_2 \cdot L1}{U} = \frac{-a_0 \cdot K2_2 \cdot L1}{U} = 2 \cdot 10^{-4} \text{ Гн}. \quad (12)$$

Полученные значения согласуются с модельными параметрами схемы. Таким образом, на примере модельной задачи доказана эффективность данного алгоритма и возможность его применения для контроля и диагностики трансформатора Тесла.

#### СПИСОК ЛИТЕРАТУРЫ

- Зевеке П.В., Ионкин П.А., Нетушил А.В., Страхов С.В. Основы теории цепей. — М.: Энергоатомиздат, 1989. — 528 с.
- Вассерман С.Б. Трансформатор Тесла в высоковольтных уско-

рителях заряженных частиц. — Новосибирск: Препринт ИЯФ 77-110, 1977. — 43 с.

- Дьяконов В.П. Mathcad 8/2000: Специальный справочник. — СПб.: Изд-во "Питер", 2000. — 592 с.